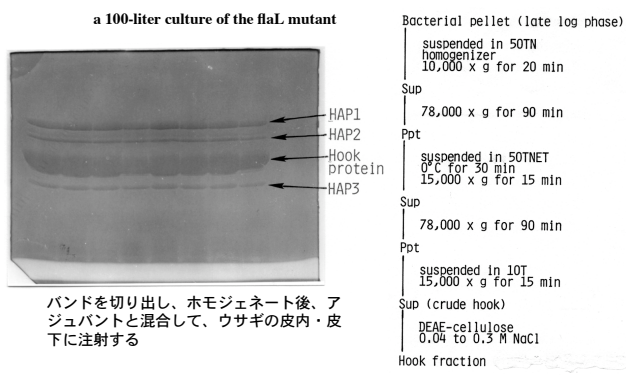


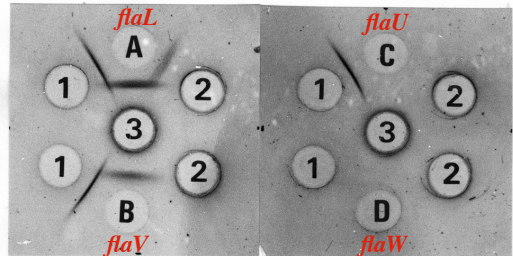
Preparation of the antibody against each HAP

Locations of hook-associated proteins in flagella

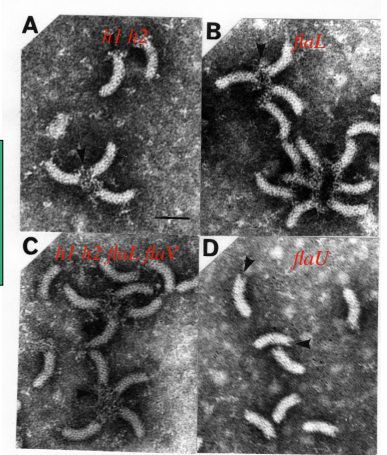
Locations of hook-associated proteins in flagellar



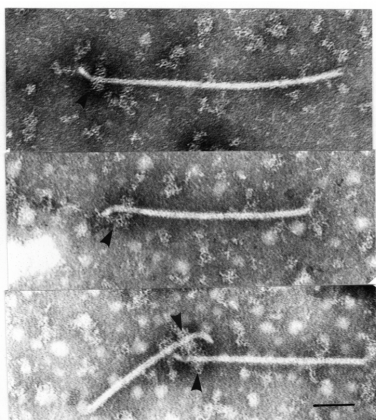
Reaction specificity of antibody against each HAP.



AntiHAP3 antibody binding profiles in hook structures.



Electron micrographs of hook-filament complexes treated with antiHAP1 antibody and the second antibody.

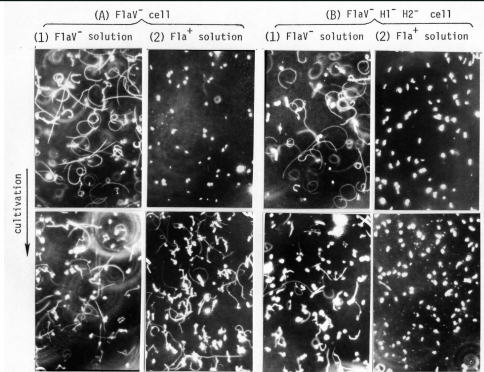


Preparation of filament-reconstructive solutions in the filamentless mutants.

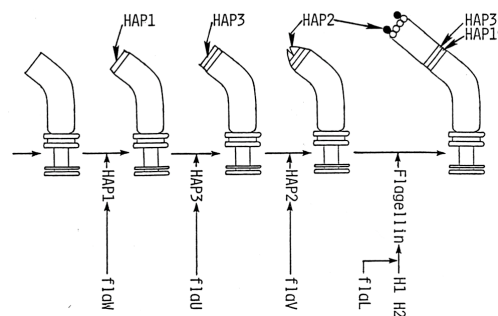
Late-log culture

- 30,000 x g for 20 min
- Sup (culture medium)
- Dialysis tube
- PEG 20,000
- 4°C for 2 days
- Concentrated culture
- pH 2.4 by 1 N HCl
- 30 min
- pH 7.2 by 1 N KOH
- 120,000 x g for 1 hr
- Sup
- $(\text{NH}_4)_2\text{SO}_4$ precipitation
- 20,000 x g for 20 min
- Ppt
- suspended in PBS dialysis
- Solution for reconstruction

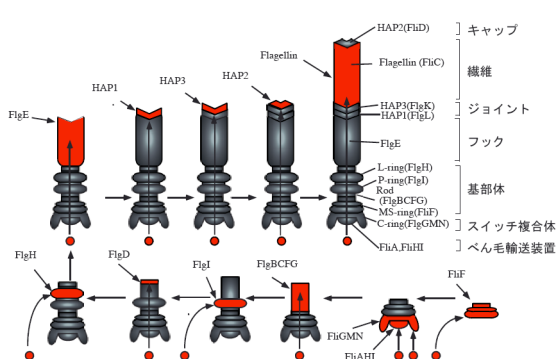
25. Motility recovery after treatment with filament-reconstructive solutions in the filamentless mutants.



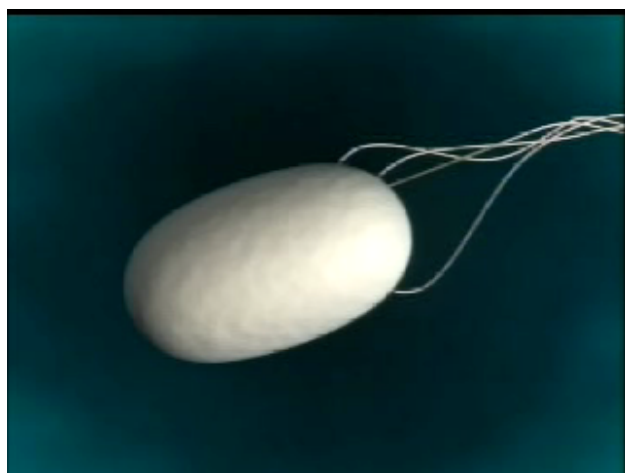
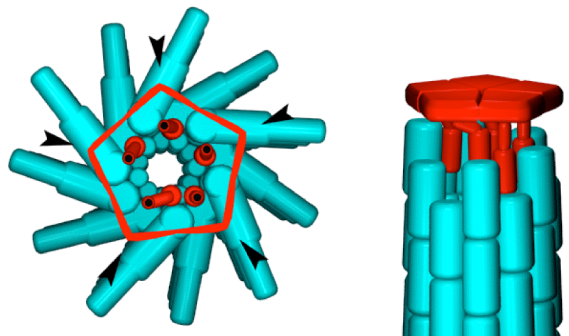
Hypothetical process of flagellar filament formation.



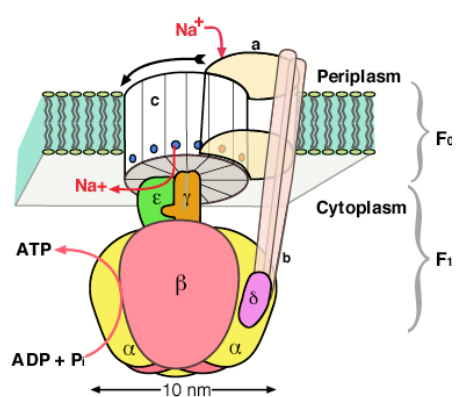
べん毛形成過程のモデル



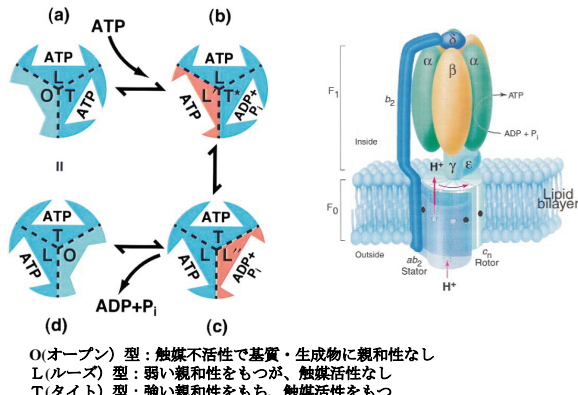
HAP2先端成長動画



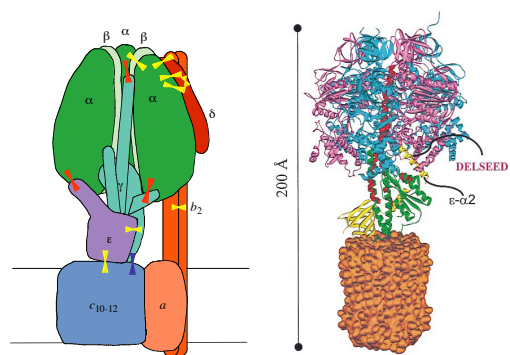
F型ATPaseモーターの構造



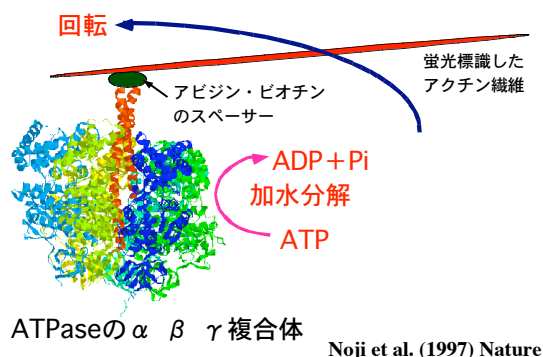
ATPaseの構造変化と触媒活性モデル



F型ATPase



F型ATPase回転実証の実験系



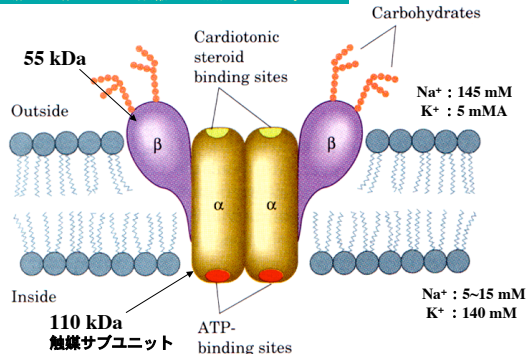
ATPase回転アニメ



Na⁺・K⁺-ATPase (P型ATPase)

1957年 Jens Skouにより発見
1997年にノーベル賞

1) Na⁺・K⁺-ATPase : Na⁺勾配による浸透圧を作り、細胞体積の維持や糖・アミノ酸輸送の駆動力となる。



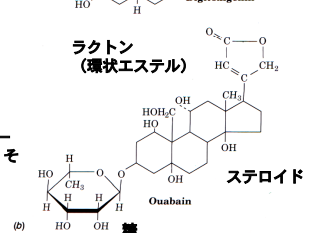
P型ATPase阻害剤

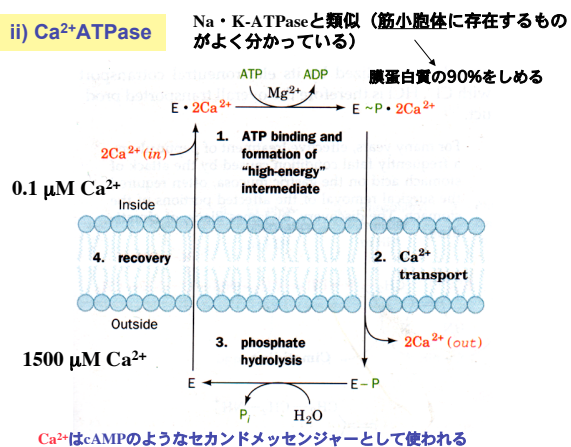
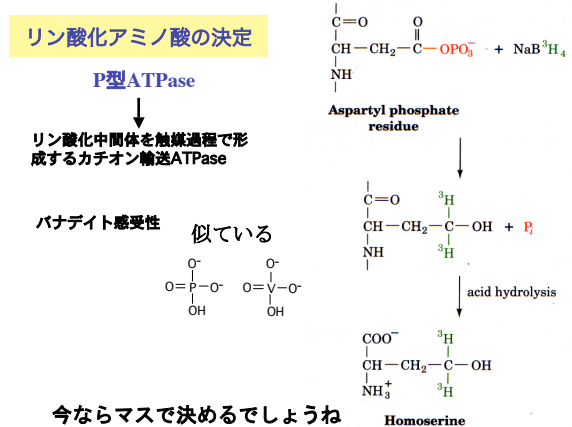
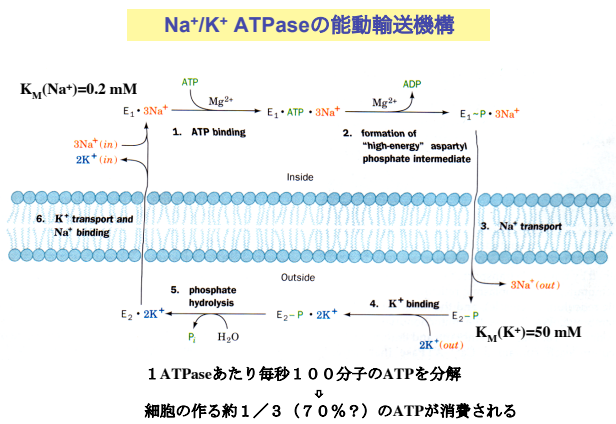


ウワバイン=ステロイド配糖体

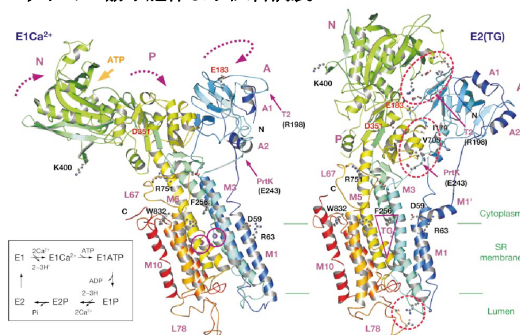
強心剤として使用

Na⁺濃度が上昇し、Na⁺/Ca²⁺アンチポーター系が活性化し、Ca²⁺濃度が上昇し、その結果、筋肉収縮が起こる。





Ca²⁺-ATPaseの結晶構造 ウサギの筋小胞体より試料調製



Toyoshima & Nomura (2002) Nature

X-Ray structure of the Ca²⁺-ATPase from rabbit muscle sarcoplasmic reticulum.

